



Vrije Universiteit Brussel

Faculteit Ingenieurswetenschappen

Design van een hoogfrequente versterker en antenne

Hoogfrequente elektronica en antennes

Bert Follon, Egon Geerardyn

15 maart 2010



Inhoudsopgave

I	Versterker	2
1	Opdracht	2
2	Stabiliteit	2
3	Stabiliteitscirkels	2
4	Gebruik van de unilaterale benadering	4
5	Berekening van maximale versterking	5
6	Bepaling van de constante gaincirkels	5
7	Matchingnetwerken	5
8	DC biasnetwerk	5
9	Simulaties	5
9.1	Ideale transmissielijnen	5
9.2	Microstrip	5
10	Lay-out	5
11	Metingen	5
11.1	Vergelijking metingen en simulaties	5
II	Antenne	6
12	Dipool	6
13	Balun	6
14	Lay-out	6
15	Metingen	6

Lijst van figuren

1	Stabiliteitscirkels	3
---	-------------------------------	---

Lijst van tabellen

De broncode en een digitale versie van het verslag zijn beschikbaar op [2].

Deel I

Versterker

1 Opdracht

We designen een single-stage common emitter-versterker met werkingsfrequentie f_0 met als centrale NPN-transistor de BFR91A. Voor deze werkingsfrequentie werden de S -parameters gegeven in [3]:

$$S = \begin{bmatrix} S_{11} & S_{12} \\ S_{21} & S_{22} \end{bmatrix} \approx \begin{bmatrix} -0.104 + 0.181j & 0.102 + 0.154j \\ 1.369 + 1.397j & 0.355 - 0.318j \end{bmatrix}$$

2 Stabiliteit

We controleren de nodige en voldoende voorwaarde voor stabiliteit van de versterker door middel van formules 11.71 en 11.72 van [1].

$$K = \frac{1 - |S_{11}|^2 - |S_{22}|^2 + |\Delta|^2}{2|S_{12}S_{21}|} > 1$$

$$|\Delta| < 1$$

$$\Delta = \det S = S_{11}S_{22} - S_{12}S_{21}$$

Aan deze voorwaarden is voldaan, zodat we kunnen besluiten dat de te realiseren versterker onconditioneel stabiel is.

3 Stabiliteitscirkels

Vermits de versterker onconditioneel stabiel is, zullen de stabiliteitscirkels ofwel de volledige Smith Chart omvatten ofwel buiten de Smith Chart vallen. **BESP-RE CIRKEL = 1** Met formules 11.68 en 11.69 uit [1], worden middelpunt C en straal R van de stabiliteitscirkels bepaald.

$$C_L = \frac{(S_{22} - \Delta S_{11}^*)^*}{|S_{22}|^2 - |\Delta|^2} \quad R_L = \left| \frac{S_{12}S_{21}}{|S_{22}|^2 - |\Delta|^2} \right|$$

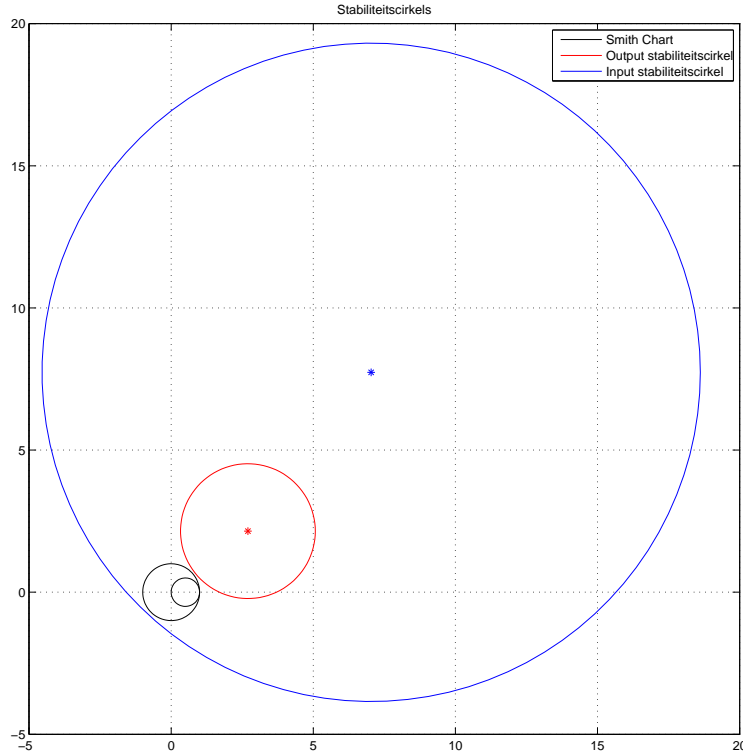
$$C_S = \frac{(S_{11} - \Delta S_{22}^*)^*}{|S_{11}|^2 - |\Delta|^2} \quad R_S = \left| \frac{S_{12}S_{21}}{|S_{11}|^2 - |\Delta|^2} \right|$$

Dit geeft aanleiding tot volgende waarden:

$$C_L = 2.70 + j2.15 \quad R_L = 2.37$$

$$C_S = 7.04 + j7.73 \quad R_S = 11.58$$

Op figuur 1 kunnen deze cirkels geïnspecteerd worden. Als extra controle, bekijken we welke zones van de Smith Chart stabiel zijn voor input en output. We volgen hier een analoge redenering als beschreven op pagina 614 van [1].



Figuur 1: Stabiliteitscirkels

Voor de input weten we dat indien de output perfect gematcht is ($Z_L = Z_0$ en dus ook $\Gamma_L = 0$, oftewel in het midden van de Smith Chart), we formule 11.62a uit [1]

$$|\Gamma_{in}| = \left| S_{11} + \frac{S_{12}S_{21}\Gamma_L}{1 - S_{22}\Gamma_L} \right| < 1$$

kunnen vereenvoudigen tot:

$$|S_{11}| < 1$$

als voorwaarde voor stabiliteit. Hieraan is voldaan zoals we kunnen zien uit de S-parameters van de transistor. Hierdoor weten we dat het gebied binnen de blauwe inputsstabiliteitscirkel stabiel is.

Voor de output volgt analoog dat indien de input perfect gematcht is ($Z_S = Z_0$ en dus ook $\Gamma_S = 0$, oftewel in het midden van de Smith Chart), we formule 11.62b uit [1]

$$|\Gamma_{out}| = \left| S_{22} + \frac{S_{12}S_{21}\Gamma_S}{1 - S_{11}\Gamma_S} \right| < 1$$

kunnen vereenvoudigen tot:

$$|S_{22}| < 1$$

als voorwaarde voor stabiliteit. Hieraan is voldaan zoals we kunnen zien uit de S-parameters van de transistor. Hierdoor weten we dat het gebied buiten de rode outputsstabiliteitscirkel stabiel is.

4 Gebruik van de unilaterale benadering

Als verantwoording voor de unilaterale benadering, gebruiken we formule 11.86 uit [1] die slechts enkele tienden van een dB afwijking mag geven. We nemen hiervoor de grenswaarde van $0.8dB$

$$-0.8dB < \frac{1}{(1+U)^2} < \frac{G_T}{G_{TU}} < \frac{1}{(1-U)^2} < 0.8dB$$

In deze formule is U de *unilateral figure of merit*:

$$U = \frac{|S_{12}| |S_{21}| |S_{11}| |S_{22}|}{(1 - |S_{11}|^2)(1 - |S_{22}|^2)}$$

In numerieke waarden, geven deze vergelijkingen dus:

$$U \approx 0.04863$$

$$-0.8dB < 0.90940 < \frac{G_T}{G_{TU}} < 1.10484 < 0.8dB$$

$$-0.8dB < -0.412dB < \frac{G_T}{G_{TU}} < 0.433dB < 0.8dB$$

Vermits deze ongelijkheden geldig zijn, mag de unilaterale benadering gebruikt worden.

5 Berekening van maximale versterking

6 Bepaling van de constante gaincirkels

7 Matchingnetwerken

8 DC biasnetwerk

9 Simulaties

9.1 Ideale transmissielijnen

9.2 Microstrip

10 Lay-out

11 Metingen

11.1 Vergelijking metingen en simulaties

Voor het verslag:

- Alle berekeningen + verwijzing formule
- Plots van ideale simulaties + simulatie in microstripversie
- Gebruikte Smith Charts voor matching van in- en uitgang

Deel II

Antenne

12 Dipool

13 Balun

14 Lay-out

15 Metingen

Voor het verslag:

- Alle berekeningen + verwijzing formule

Referenties

- [1] Pozar D.M. *Microwave Engineering*, chapter 5-11. Addison-Wesley, Reading, 1990. Chapter 5-11.
- [2] Egon Geerardyn en Bert Follon. GitHub VUB-HFE repository. <http://github.com/egeerardyn/VUB-HFE>.
- [3] Wendy Van Moer. Inleidingsles labo hoogfrequent elektronica en antennes, 2010.